

СИНХРОНИЗАЦИЯ И БИСТАБИЛЬНОСТЬ В СИСТЕМЕ СПИН-ТРАНСФЕРНЫХ ОСЦИЛЛЯТОРОВ С ПОЛЕВОЙ СВЯЗЬЮ

XVIII ВСЕРОССИЙСКАЯ НАУЧНАЯ КОНФЕРЕНЦИЯ МОЛОДЫХ УЧЕНЫХ
«N³_{ph}: НАНОЭЛЕКТРОНИКА, НАНОФОТОНИКА И НЕЛИНЕЙНАЯ ФИЗИКА»

САРАТОВ, 12-13 СЕНТЯБРЯ 2023 Г.

П. В. Купцов
kupav@mail.ru

Саратовский филиал Института радиотехники и электроники
им. В.А. Котельникова Российской академии наук

Исследование выполнено за счет гранта Российского научного фонда №21-12-00121
<https://rscf.ru/project/21-12-00121/>

СПИН-ТРАНСФЕРНЫЙ ОСЦИЛЛЯТОР И
УРАВНЕНИЕ ЛАНДАУ-ЛИФШИЦА-
ГИЛЬБЕРТА-СЛОНЧЕВСКОГО

СПИН-ТРАНСФЕРНЫЙ ОСЦИЛЛЯТОР (СТО)

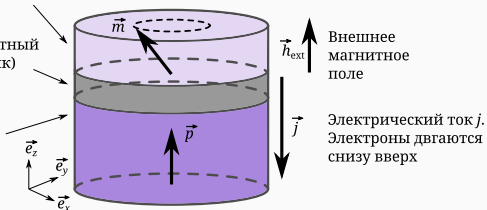
Это наноразмерное автоколебательное устройство

Тонкий слой ферромагнетика.

Намагниченность m
легко меняется

Разделитель (немагнитный
металл или диэлектрик)

Толстый слой
ферромагнетика -
постоянный магнит,
намагниченность p



Сопротивление СТО r зависит от косинуса угла между \vec{m} и \vec{p}
(эффект гигантского магнитосопротивления, ГМС)

$$r = \frac{r_p + r_{ap}}{2} \left(1 - (\vec{m} \cdot \vec{p}) \left(\frac{r_{ap} - r_p}{r_{ap} + r_p} \right) \right)$$

Здесь r_p и r_{ap} — минимальное и максимальное значения
сопротивления, $\|\vec{m}\| = \|\vec{p}\| = 1$

УРАВНЕНИЕ ЛАНДАУ-ЛИФШИЦА-ГИЛЬБЕРТА-СЛОНЧЕВСКОГО

При пропускании через СТО тока, намагниченность \vec{m} прецессирует.

Обезразмеренное уравнение ЛЛГС:

$$\begin{aligned}\dot{\vec{m}} - \alpha \vec{m} \times \dot{\vec{m}} &= -\vec{m} \times \vec{h}_{\text{eff}} + \beta' \vec{m} \times (\vec{m} \times \vec{p}) \\ \vec{h}_{\text{eff}} &= \vec{h}_{\text{ext}} - \mathcal{D} \vec{m}\end{aligned}$$

- $(\dot{\vec{m}} \cdot \vec{m}) = 0$ и $\|\vec{m}\| = 1$ – динамика на единичной сфере
- α – коэффициент затухания прецессии
- β' проп. току j , контролирует частоту прецессии
- \mathcal{D} – диаг. тензор, материал, геометрия
- $\|\vec{p}\| = 1$

Mayergoyz, I. D., Bertotti, G., & Serpico, C. (2009). Elsevier

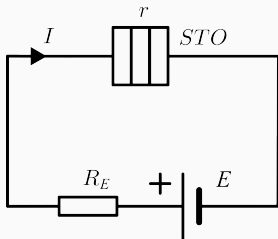
ВАРИАНТЫ ВКЛЮЧЕНИЯ СТО

ВКЛЮЧЕНИЕ СТО: ИСТОЧНИК ЭДС

- Источник ЭДС E с внутренним сопротивлением R_E
- R_E сравнимо с сопротивлением СТО r

$$\dot{\vec{m}} - \alpha \vec{m} \times \dot{\vec{m}} = -\vec{m} \times \vec{h}_{\text{eff}} + \frac{\beta}{1 + c_p(\vec{m} \cdot \vec{p})} \vec{m} \times (\vec{m} \times \vec{p})$$

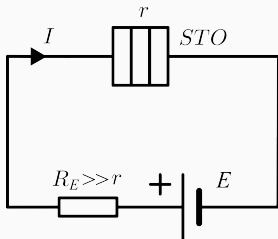
В знаменателе $(\vec{m} \cdot \vec{p})$ — это из-за зависимости r от \vec{m}



ПРИБЛИЖЕНИЕ ИДЕАЛЬНОГО ИСТОЧНИКА ТОКА

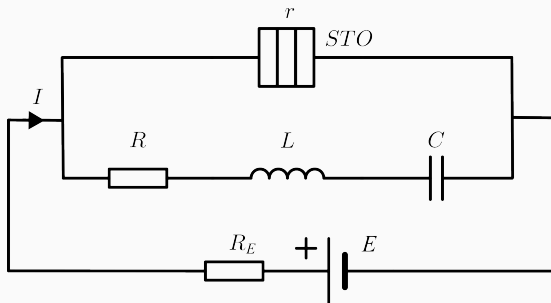
- Идеальный источник тока: $R_E \gg r$

$$\dot{\vec{m}} - \alpha \vec{m} \times \dot{\vec{m}} = -\vec{m} \times \vec{h}_{\text{eff}} + \beta \vec{m} \times (\vec{m} \times \vec{p})$$



Общий случай:

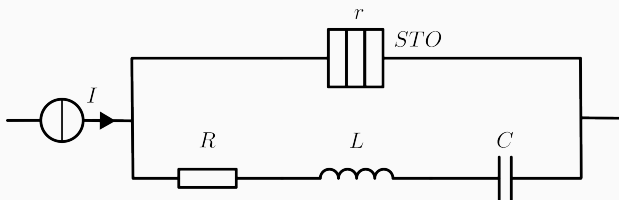
- RLC цепочка
- источник Э.Д.С. E с внутренним сопротивлением R_E



RLC НАГРУЗКА И ИДЕАЛЬНЫЙ ИСТОЧНИК ТОКА

Мы рассматриваем приближение идеального источника тока плюс нагрузка:

1. Нагрузка отсутствует
2. RLC цепочка
3. Один конденсатор



Одноосный СТО с идеальным источником тока

СПИН-ТРАНСФЕРНЫЙ ОСЦИЛЛЯТОР С ОДНООСНОЙ СИММЕТРИЕЙ ОТНОСИТЕЛЬНО ОСИ Z И ИДЕАЛЬНЫМ ИСТОЧНИКОМ ТОКА

$$\begin{aligned}\dot{m}_x &= m_z A m_x + B m_y \\ \dot{m}_y &= -B m_x + m_z A m_y \\ \dot{m}_z &= A(m_z^2 - 1)\end{aligned}$$

где $A = (m_z - h_z + \beta/\alpha)\alpha$, $B = m_z - h_z - \beta\alpha$

Уравнения для m_x и m_y линейные, m_z монотонно выходит на неподвижную точку

Mayergoyz, I. D., Bertotti, G., & Serpico, C. (2009). Elsevier

Уравнение для m_z имеет три неподвижные точки.

Соответственно, имеем три решения:

- Фокусы на полюсах. Условия устойчивости:

$$h_z - \beta/\alpha < -1 \text{ уст. фокус } m_z = -1, m_x = m_y = 0$$

$$h_z - \beta/\alpha > 1 \text{ уст. фокус } m_z = 1, m_x = m_y = 0$$

- Предельный цикл на параллели

$$-1 < h_z - \beta/\alpha < 1 \quad m_x = r \cos(\omega t + f), m_y = r \sin(\omega t + f)$$

$$m_z = h_z - \beta/\alpha, r = \sqrt{1 - m_z^2}$$

$$\omega = \beta/\alpha + \beta\alpha, f - \text{ произв.}$$

Вблизи неподвижной точки $h_z - \beta/\alpha$ компонента m_z меняется медленно. Поэтому

$$m_x = re^{m_z At} \cos Bt, \quad m_y = -re^{m_z At} \sin Bt$$

где $A = (m_z - h_z + \beta/\alpha)\alpha$, $B = m_z - h_z - \beta\alpha$

Выход на предельный цикл:

- Всегда $A < 0$, поэтому $e^{m_z At}$ убывает
- При этом $A \rightarrow -0$, поэтому в асимптотике $e^{m_z At} \rightarrow 1$

КОЛЕБАТЕЛЬНОЕ РЕШЕНИЕ: ЧИСТАЯ СИНУСОИДА

Переделный цикл, устойчив при $-1 < h_z - \beta/\alpha < 1$,

$$m_x = \sqrt{1 - m_z^2} \cos(\omega t + f),$$

$$m_y = \sqrt{1 - m_z^2} \sin(\omega t + f),$$

$$m_z = h_z - \beta/\alpha$$

где f — произв. начальная фаза, $\omega = \beta/\alpha + \beta\alpha \approx \beta/\alpha$ (т.к. $\beta\alpha$ мало).

Нет нелинейности по $m_{x,y}$:

- В решении нет высших гармоник
- При внешнем воздействии и взаимодействии нет резонансов на гармониках

Роль RLC нагрузки для одноосного СТО

- На предельном цикле.

$$m_z = \text{const:}$$

$$m_x = \sqrt{1 - m_z^2} \cos(\omega t + f), m_y = \sqrt{1 - m_z^2} \sin(\omega t + f), m_z = h_z - \beta / \alpha$$

Значит сопротивление постоянно:

$$r = \frac{r_p + r_{ap}}{2} \left(1 - m_z \left(\frac{r_{ap} - r_p}{r_{ap} + r_p} \right) \right) \quad (\vec{p} = \vec{e}_z \text{ и } (\vec{m} \cdot \vec{p}) = m_z)$$

Значит RLC цепочка не работает.

- До выхода на предельный цикл.

Частота прецессии \vec{m} — гигагерцы. Резонанса нет.

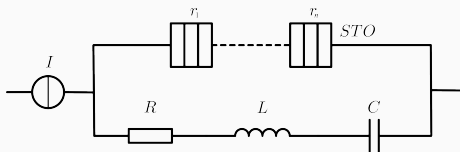
Ток через RLC корректирует эффективное значение β .

Значит можно использовать для управления переходным процессом.

СПОСОБЫ ОРГАНИЗАЦИИ СВЯЗИ МЕЖДУ СТО

СВЯЗАННЫЕ ОСЦИЛЛЯТОРЫ: СВЯЗЬ ПО ТОКУ

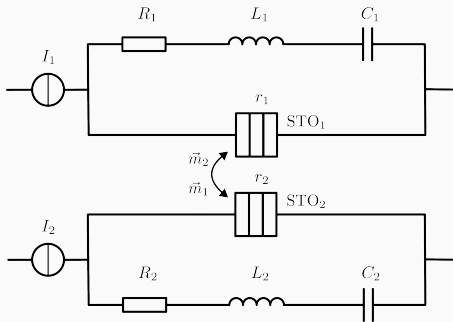
- Связь через общий ток: из-за ГМС электрическое сопротивление осциллятора зависит от $(\vec{m} \cdot \vec{p})$. Включаем осцилляторы последовательно или параллельно друг другу.



Pikovsky, A. (2013). *Phys. Rev. E*, 88, 032812 ◊ Zaks, M., & Pikovsky, A. (2017). *Scientific Reports*, 7(1), 4648 ◊ Zaks, M. A., & Pikovsky, A. (2016). *Physica D: Nonlinear Phenomena*, 335, 33–44 ◊ Zaks, M. A., & Pikovsky, A. (2019). *The European Physical Journal B*, 92(7), 160

СВЯЗАННЫЕ ОСЦИЛЛЯТОРЫ: СВЯЗЬ ПО ПОЛЮ

- Связь через магнитные поля осцилляторов. Дипольное приближение: $\vec{h} \propto \vec{m}$. Коррекция эффективного поля:
 $\vec{h}_{\text{eff}} \rightarrow \vec{h}_{\text{eff}} + \epsilon \sum_{j=1, j \neq n}^N a_{n,j} \vec{m}_j$



Kuptsov, P. V. (2022). *Regular and Chaotic Dynamics*, 27(6), 697–712 ◊ Купцов, П. В. (2023). *Физика твердого тела*, 65(6), 943–950

ДВА СТО С ПОЛЕВОЙ СВЯЗЬЮ БЕЗ НАГРУЗКИ

У одиночного одноосного СТО m_z на цикле не меняется.

Численная проверка связанных осцилляторов с RLC нагрузкой: m_z либо постоянны (синхронизация) либо почти постоянны (меняются очень малой амплитудой)

Значит ток через RLC будет малым.

Значит имеет смысл сначала подробнее рассмотреть случай:

- RLC отсутствует
- источник тока идеальный

Все параметры СТО берём одинаковыми за исключением β .

$$\begin{aligned} \dot{m}_{i,x} &= m_{i,z} A_i m_{i,x} + B_i m_{i,y} + \frac{\epsilon}{1+\alpha_i^2} \{ \alpha_i [m_{j,x} - (\vec{m}_i \cdot \vec{m}_j) m_{i,x}] - m_{i,y} m_{j,z} + m_{j,y} m_{i,z} \}, \\ \dot{m}_{i,y} &= -B_i m_{i,x} + m_{i,z} A_i m_{i,y} + \frac{\epsilon}{1+\alpha_i^2} \{ \alpha_i [m_{j,y} - (\vec{m}_i \cdot \vec{m}_j) m_{i,y}] + m_{i,x} m_{j,z} - m_{j,x} m_{i,z} \}, \\ \dot{m}_{i,z} &= A_i (m_{i,z}^2 - 1) + \frac{\epsilon}{1+\alpha_i^2} \{ \alpha_i [m_{j,z} - (\vec{m}_i \cdot \vec{m}_j) m_{i,z}] - m_{i,x} m_{j,y} + m_{j,x} m_{i,y} \}, \\ A_i &= \alpha_i \frac{m_{i,z} - h_z + \beta_i / \alpha_i}{1+\alpha_i^2}, \quad B_i = \frac{m_{i,z} - h_z - \beta_i \alpha_i}{1+\alpha_i^2}. \end{aligned}$$

Здесь $i = 1, 2$, а j — другой осциллятор, т.е. $i = 1, j = 2$ и наоборот.

Численные решения: слабая связь ϵ — осцилляторы колеблются на собственных частотах, близких к $\omega_1 = \frac{\beta_1}{\alpha}$ и $\omega_2 = \frac{\beta_2}{\alpha}$.

Увеличение силы связи — осцилляторы синхронизируются:
 $\omega_s = \frac{\beta_1 + \beta_2}{2\alpha}$, $m_{1,z} = m_{2,z} = h_z - \frac{\beta_1 + \beta_2}{2\alpha}$.

Переход к синхронному режиму происходит через бистабильность — в зависимости от выбора начальных условий осцилляторы либо синхронизируются, либо нет.

При одних и тех же параметр в зависимости от н. у. система выходит либо на синхронное, либо на несинхронное решение.

На рисунках ниже используется два н. у.

$$\vec{v}_1 = (0.1, -0.1, 0.9), \quad \vec{v}_2 = (-0.2, 0.2, 0.8) \quad (1)$$

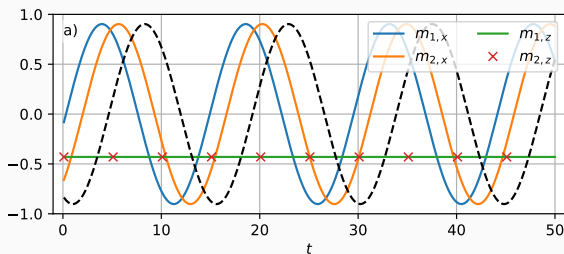
$$\vec{v}_1 = (0.1, -0.2, 0.001), \quad \vec{v}_2 = (-0.1, 0.3, -0.002) \quad (2)$$

Начальные условия задаются через вектора \vec{v}_1 и \vec{v}_2 как

$$\vec{m}_{1,2}(0) = \vec{v}_{1,2} / \|\vec{v}_{1,2}\|$$

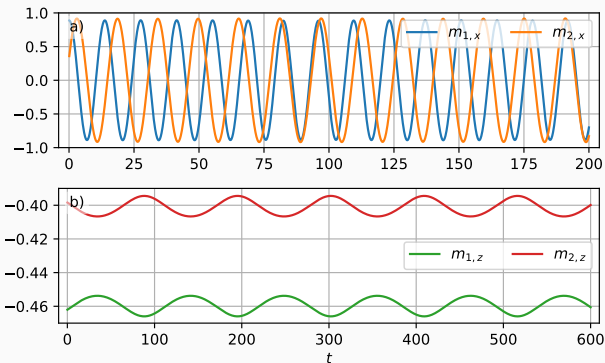
СИНХРОННОЕ РЕШЕНИЕ, Н.У. (1)

$$\alpha = 0.01, \beta_1 = 0.0046, \beta_2 = 0.004 \quad \epsilon = 0.00045, h_z = 0.$$



- $m_{1,2,x}$ синхронизированы, $m_{1,2,z}$ не колеблются, $m_{1,2,z} = a = -0.43$ (соотв. формуле $m_{1,2,z} = h_z - \frac{\beta_1 + \beta_2}{2\alpha}$)
- Штриховая линия – синусоида $\sqrt{1 - a^2} \sin(\omega_s t)$ где $\omega_s = 0.43$ (формула $\omega_s = (\beta_1 + \beta_2)/(2\alpha)$)

НЕСИНХРОННОЕ РЕШЕНИЕ, н.у. (2)



- $m_{1,2,x}$ не синхронизированы
- $m_{1,2,z}$ очень медленно осциллируют

СФЕРИЧЕСКИЕ КООРДИНАТЫ

Амплитуды \vec{m} сохраняются и в силу нормировки $\|\vec{m}\| = 1$.

Уравнения можно переписать в сферических координатах для азимутальных $\phi_{1,2}$ и полярных $\theta_{1,2}$ углов.

$$m_{1,2,x} = \sin \theta_{1,2} \cos \phi_{1,2}, \quad m_{1,2,y} = \sin \theta_{1,2} \sin \phi_{1,2}, \quad m_{1,2,z} = \cos \theta_{1,2}.$$

Колебания происходят вдоль «широт» — углы $\phi_{1,2}$ играют роль фаз.

Колебания синусоидальные, следовательно

$$\phi_{1,2}(t) = \omega_{1,2}t + f_{1,2}$$

Полярные углы $\theta_{1,2}$ слабо осциллируют и играют роль амплитуд.

Считаем, что собственные частоты близки, т. е. $\beta_1 - \beta_2$ мало.

Синхронное решение существует при условии

$$\epsilon \geq |\beta_1 - \beta_2|/2$$

Несинхронное решение существует при условии

$$\epsilon < |\beta_1 - \beta_2| + 8|\beta_1 - \beta_2|^3 \frac{\alpha^2(1-4h_z^2)+4\alpha(\beta_1+\beta_2)h_z-(\beta_1+\beta_2)^2+1}{[(2\alpha h_z-\beta_1-\beta_2)^2-4\alpha^2]^2}$$

Бистабильность, когда эти условия выполняются одновременно

Kuptsov, P. V. (2022). *Regular and Chaotic Dynamics*, 27(6), 697–712

ПОСТРОЕНИЕ КАРТЫ РЕЖИМОВ, ПРОВЕРКА ФОРМУЛ

Задаём $\beta_2 = 0.005$. Меняем β_1 и ϵ .

Пара β_1 и ϵ — это точка на плоскости параметров.

В каждой точке вычисляем $N = 100$ траекторий стартуя со случайных н. у.

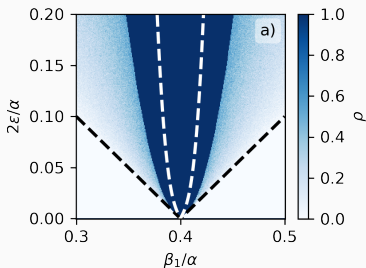
Для каждой траектории вычисляем $\phi_{1,2}(t)$.

Имея ввиду что должно быть $\phi_{1,2}(t) = \omega_{1,2}t + f_{1,2}$, вычисляем $\omega_{1,2}$ по методу наименьших квадратов.

Подсчитываем N_s — количество траекторий для которых $|\omega_1 - \omega_2| \approx 0$.

На плоскости параметров в точке (β_1, ϵ) закрашиваем пиксель пропорционально относительной частоте синхронизации $\rho = N_s/N$.

Относительная частота выхода на синхронный режим при старте со случайных н. у. Пунктиры — аналитические оценки грани бистабильности. $\alpha = 0.01$



Верхняя граница завышена из-за использования первого приближение по малым возмущениям амплитуды.

ДВА СТО С RLC НАГРУЗКОЙ:
УПРАВЛЕНИЕ БИСТАБИЛЬНОСТЬЮ

СВЯЗАННЫЕ СТО С RLC НАГРУЗКОЙ

$$\begin{aligned} \dot{m}_{i,x} &= m_{i,z}A_i m_{i,x} + B_i m_{i,y} + \frac{\epsilon}{1+\alpha_i^2} \{ \alpha_i [m_{j,x} - (\vec{m}_i \cdot \vec{m}_j) m_{i,x}] - m_{i,y} m_{j,z} + m_{j,y} m_{i,z} \}, \\ \dot{m}_{i,y} &= -B_i m_{i,x} + m_{i,z}A_i m_{i,y} + \frac{\epsilon}{1+\alpha_i^2} \{ \alpha_i [m_{j,y} - (\vec{m}_i \cdot \vec{m}_j) m_{i,y}] + m_{i,x} m_{j,z} - m_{j,x} m_{i,z} \}, \\ \dot{m}_{i,z} &= A_i (m_{i,z}^2 - 1) + \frac{\epsilon}{1+\alpha_i^2} \{ \alpha_i [m_{j,z} - (\vec{m}_i \cdot \vec{m}_j) m_{i,z}] - m_{i,x} m_{j,y} + m_{j,x} m_{i,y} \}, \\ \dot{u}_i &= \chi_i w_i, \\ \dot{w}_i &= \frac{\Omega_i^2}{\chi_i} ((1 - \kappa_i m_{i,z})(1 - w_i) - u_i - \rho_i w_i), \\ A_i &= \alpha_i \frac{m_{i,z} - h_z + \beta_i (1 - w_i) / \alpha_i}{1 + \alpha_i^2}, \quad B_i = \frac{m_{i,z} - h_z - \beta_i (1 - w_i) \alpha_i}{1 + \alpha_i^2}. \end{aligned}$$

Здесь $i = 1, 2$, а j — другой осциллятор, т.е. $i = 1, j = 2$ и наоборот.

$$w_i = \frac{\dot{u}_i C_i \Gamma}{l_i}, \quad u_i = \frac{2U_i}{l_i(r_{i,\text{ap}} + r_{i,\text{p}})}, \quad \rho_i = \frac{2R_i}{r_{i,\text{ap}} + r_{i,\text{p}}}, \quad \Omega_i = \frac{1}{\Gamma \sqrt{L_i C_i}}, \quad \chi_i = \frac{2}{C_i \Gamma (r_{i,\text{ap}} + r_{i,\text{p}})}, \quad \kappa_i = \frac{r_{i,\text{ap}} - r_{i,\text{p}}}{r_{i,\text{ap}} + r_{i,\text{p}}}.$$

Численное моделирование — в установившемся режиме динамика качественно мало отличается от случая без RLC.

Наблюдаем режимы без синхронизации, синхронизацию.

Имеется область бистабильности.

Ток и напряжение в RLC цепочке колеблются с очень малой амплитудой.

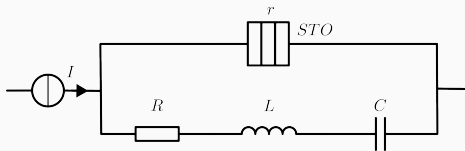
Кроме колебательного решения СТО имеют неподвижные точки на северном и южном полюсах.

Неподвижные точки устойчивы когда токи через СТО очень малы или очень велики (токи учитываются через $\beta_{1,2}$).

Цепочки подключены параллельно СТО — контролируя ток через них, можно управлять возникновением колебаний.

УПРАВЛЕНИЕ ВИСТАБИЛЬНОСТЬЮ

Задаём н.у. в RLC так, чтобы через них тек большой ток — предварительно заряжаем конденсаторы.



Общий ток постоянный — ток через STO будет либо мал, либо велик (зависит от направления стартового тока в RLC).

Значит сразу после включения колебаний не будет — будут устойчивыми неподвижные точки.

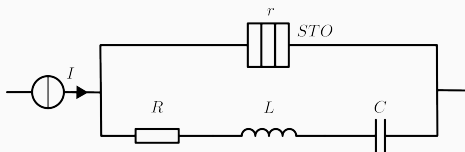
Осцилляторы будут «забывать» свои произвольные начальные состояния, выходя на неподвижные точки.

УПРАВЛЕНИЕ ВИСТАБИЛЬНОСТЬЮ

Затем конденсаторы потеряют свой первоначальный заряд и токи через СТО примут свои номинальные значения.

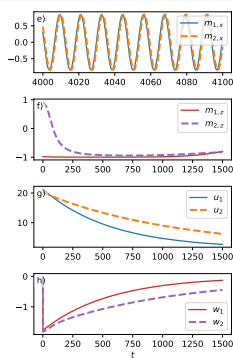
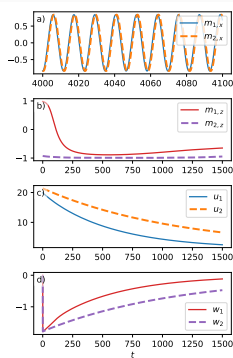
Затухание в RLC должно быть малым, чтобы СТО успели подойти к неподвижным точкам — медленные RLC.

Когда токи примут номинальные значения, в СТО начнутся колебания, стартующие всегда с одних и тех же начальных условий.



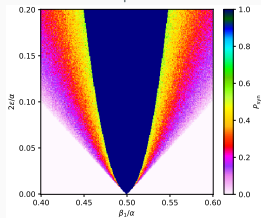
ПОДАВЛЕНИЕ БИСТАБИЛЬНОСТИ

Колонки слева и справа — старт с н. у. (1) и (2), как на рисунках выше. Теперь всегда синхронизация

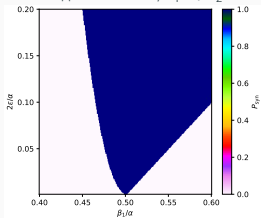


Картина зависит от того, в каком из контуров затухание быстрее

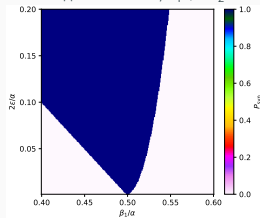
быстрый RLC



медленный RLC, $C_1 < C_2$



медленный RLC, $C_1 > C_2$

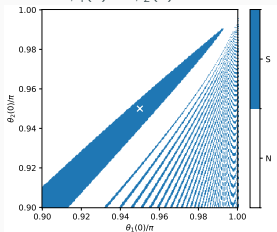


ДЕТАЛИ МЕХАНИЗМА ПОДАВЛЕНИЯ БИСТАБИЛЬНОСТИ

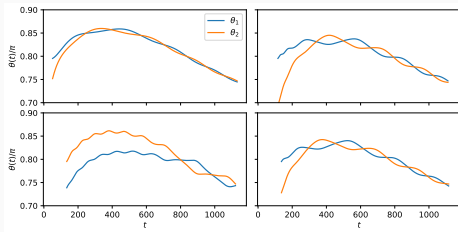
Медленный контур, $C_1 > C_2$. $\beta_1 = 0.004$, $\epsilon = 0.001$, $\alpha = 0.01$.

Контур «приводит» все траектории СТО в синюю область вблизи полюса, отмеченную «X».

Бассейны режимов. Синий — синхронизация, белый — нет.
 $\phi_1(0) = \phi_2(0) = 0$



Примеры поведения траекторий вблизи полюса.
Траектории уходят от полюса имея $\theta_1 \approx \theta_2$



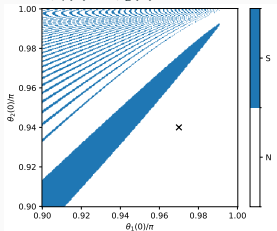
ДЕТАЛИ МЕХАНИЗМА ПОДАВЛЕНИЯ БИСТАБИЛЬНОСТИ

Медленный контур, $C_1 > C_2$. $\beta_1 = 0.006$, $\epsilon = 0.001$, $\alpha = 0.01$.

Контур «приводит» все траектории СТО в белую область вблизи полюса, отмеченную «X».

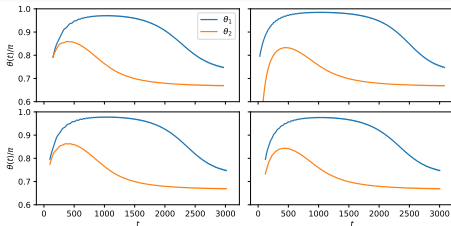
Бассейны режимов. Синий — синхронизация, белый — нет.

$$\phi_1(0) = \phi_2(0) = 0$$



Примеры поведения траекторий вблизи полюса.

Траектории уходят от полюса имея $\theta_1 > \theta_2$



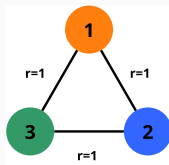
УПРАВЛЕНИЕ МУЛЬТИСТАБИЛЬНОСТЬЮ В СИСТЕМЕ НЕСКОЛЬКИХ СТО

Три СТО на одинаковых расстояниях друг от друга

Вспомним: связь вводится как $\epsilon \sum_{j=1, j \neq n}^N a_{n,j} \vec{m}_j$

Зададим $N = 3$, $r = 1$ (парные расстояния).

$$a_{1,2} = a_{2,1} = a_{1,3} = a_{3,1} = a_{2,3} = a_{3,2} = 1$$

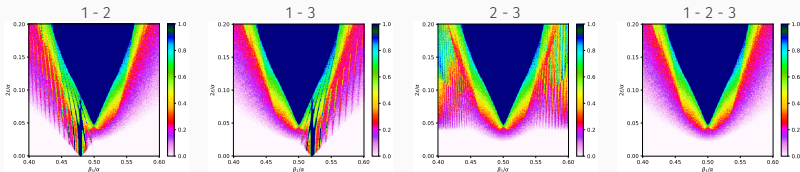


Более богатая мультистабильность — возможность попарной синхронизации 1-2, 1-3 и 2-3

КАРТЫ РЕЖИМОВ, БЫСТРЫЕ КОНТУРЫ

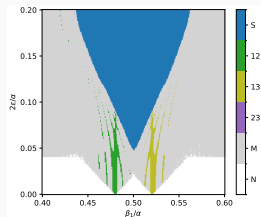
Быстрые контуры, $\beta_2 = 0.0048$, $\beta_3 = 0.0052$, $\alpha = 0.01$

Вероятность попарной синхронизации P_{Syn}



Области частичной и полной синхронизации

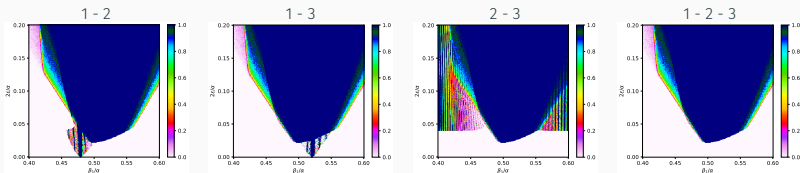
- Область **S** — полная синхронизация
- Области **12**, **13** — $P_{\text{Syn}12} = 1$, $P_{\text{Syn}13} = 1$, соответственно
- Область **23** — $P_{\text{Syn}23} = 1$ (на рисунке такие области отсутствуют)
- Область **M** — мультистабильность
- Область **N** — нет синхронизации



КАРТЫ РЕЖИМОВ, МЕДЛЕННЫЕ КОНТУРЫ

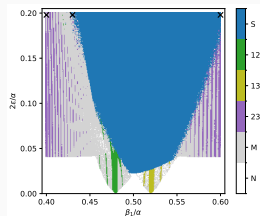
Медленные контуры, $C_2 > C_1 > C_3$

Вероятность попарной синхронизации P_{syn}



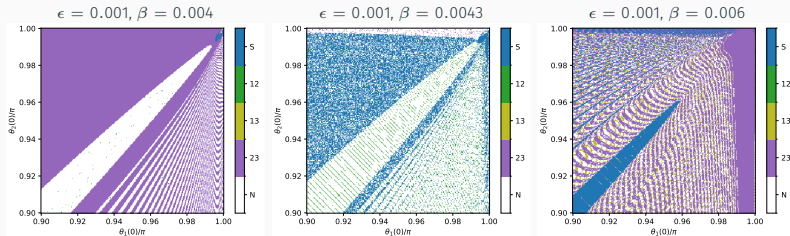
Области частичной и полной синхронизации

- Область **S** — полная синхронизация
- Области **12, 13, 23** — $P_{\text{syn}12} = 1$, $P_{\text{syn}13} = 1$, $P_{\text{syn}23} = 1$, соответственно
- Область **M** — мультистабильность
- Область **N** — нет синхронизации
- Крестики — точки, где построены бассейны на сл. слайде



БАСЕЙНЫ РЕЖИМОВ НА ГРАНИЦЕ ОБЛАСТИ СИНХРОНИЗАЦИИ

- Бассейны значительно сложнее чем у двух СТО
- Нет крупных областей выхода на полную синхронизацию



У трёх СТО медленные контуры заметно уменьшают области мультистабильности, но не подавляют её полностью.

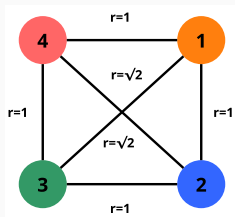
ЧЕТЫРЕ СТО НА СТОРОНАХ КВАДРАТА

Связь в дипольном приближении: $\vec{h}_j \propto \vec{m}_j, \in \sum_{j=1, j \neq n}^N a_{n,j} \vec{m}_j$

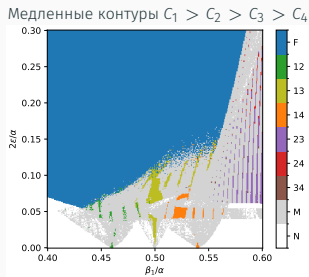
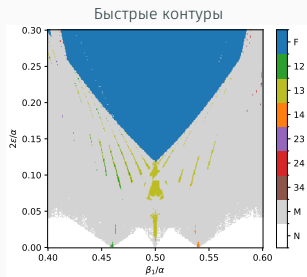
Поле убывает как квадрат расстояния.

$$N = 4, a = 1/r^2$$

$$a_{1,2} = a_{1,4} = 1, a_{1,3} = 1/r_{1,3}^2 = 1/2$$



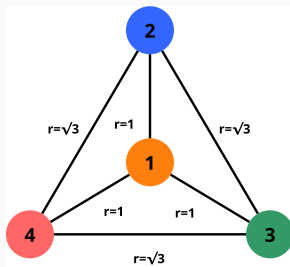
$$\beta_2 = 0.0046, \beta_3 = 0.005, \beta_4 = 0.0054, \alpha = 0.01$$



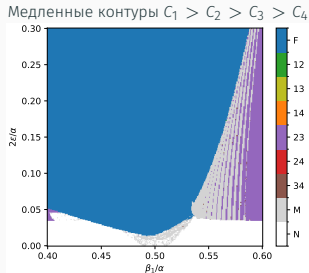
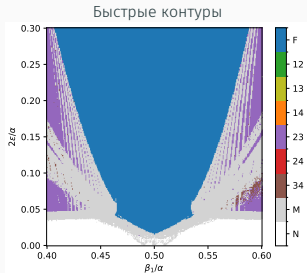
Область мультстабильности для медленного контура стала меньше, но не исчезла

ЧЕТЫРЕ СТО В ВИДЕ ЗВЕЗДЫ

$$N = 4, a_{2,1} = 1, a_{2,3} = a_{2,4} = 1/r^2 = 1/3$$



$$\beta_2 = 0.0049, \beta_3 = 0.005, \beta_4 = 0.0051, \alpha = 0.01$$



Картина в целом: при помощи медленных контуров можно подавить мультистабильность в ограниченной области пространства параметров

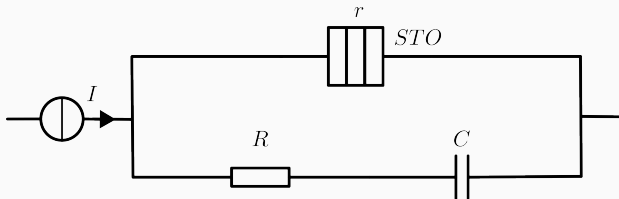
СТО с РС НАГРУЗКОЙ

МИНИМАЛЬНО ДОСТАТОЧНАЯ НАГРУЗКА

Вспомним что мы делаем для управления запуском осцилляций

1. Предварительно заряжаем конденсатор
2. Затухание слабое и поэтому ток через нагрузку сохраняется большим достаточно долго

Эти условия можно выполнить, исключив индуктивность. Также можно положить $R = 0$ — качественно уравнения не изменятся



СВЯЗАННЫЕ СТО С РС НАГРУЗКОЙ

$$\begin{aligned}\dot{m}_{i,x} &= m_{i,z}A_i m_{i,x} + B_i m_{i,y} + \frac{\epsilon}{1+\alpha_i^2} \{ \alpha_i [m_{j,x} - (\vec{m}_i \cdot \vec{m}_j) m_{i,x}] - m_{i,y} m_{j,z} + m_{j,y} m_{i,z} \}, \\ \dot{m}_{i,y} &= -B_i m_{i,x} + m_{i,z}A_i m_{i,y} + \frac{\epsilon}{1+\alpha_i^2} \{ \alpha_i [m_{j,y} - (\vec{m}_i \cdot \vec{m}_j) m_{i,y}] + m_{i,x} m_{j,z} - m_{j,x} m_{i,z} \}, \\ \dot{m}_{i,z} &= A_i (m_{i,z}^2 - 1) + \frac{\epsilon}{1+\alpha_i^2} \{ \alpha_i [m_{j,z} - (\vec{m}_i \cdot \vec{m}_j) m_{i,z}] - m_{i,x} m_{j,y} + m_{j,x} m_{i,y} \}, \\ \dot{u}_i &= \chi_i \left(\frac{1 - \kappa_i m_{i,z} - u_i}{1 - \kappa_i m_{i,z} + \rho_i} \right), \\ A_i &= \alpha_i \frac{m_{i,z} - h_z + \beta_i (1 - \dot{u}_i / \chi_i) / \alpha_i}{1 + \alpha_i^2}, \quad B_i = \frac{m_{i,z} - h_z - \beta_i (1 - \dot{u}_i / \chi_i) \alpha_i}{1 + \alpha_i^2}.\end{aligned}$$

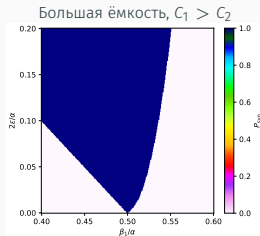
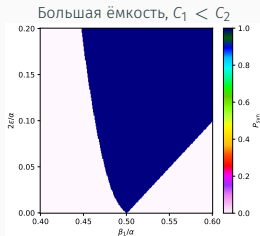
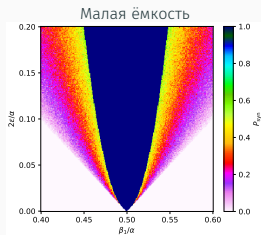
Здесь $i = 1, 2$, а j — другой осциллятор, т. е. $i = 1, j = 2$ и наоборот.

$$U_i = \frac{2U_i}{l_i(r_{i,\text{ap}} + r_{i,\text{p}})}, \quad \rho_i = \frac{2R_i}{r_{i,\text{ap}} + r_{i,\text{p}}}, \quad \chi_i = \frac{2}{C_i \Gamma(r_{i,\text{ap}} + r_{i,\text{p}})}, \quad \kappa_i = \frac{r_{i,\text{ap}} - r_{i,\text{p}}}{r_{i,\text{ap}} + r_{i,\text{p}}}.$$

В отличие от RLC здесь на контур приходится только одно уравнение.

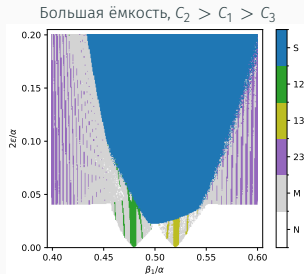
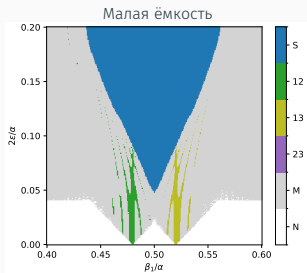
КАРТЫ РЕЖИМОВ, ДВА СТО С ЁМКОСТНОЙ НАГРУЗКОЙ, $R = 0$

Параметры СТО те же, что и для RLC



КАРТЫ РЕЖИМОВ, ТРИ СТО С ЁМКОСТНОЙ НАГРУЗКОЙ, $R = 0$

Параметры СТО те же, что и для RLC



Ёмкостная нагрузка действует качественно также как RLC

Выводы

- СТО с одноосной симметрией интересен тем, что генерирует узкополосные колебания без старших гармоник. В теории — просто синусоида.
- Рассмотрены системы СТО с полевой связью.
- Численный анализ выявил наличие областей мультистабильности — полная синхронизация, частичная (попарная) синхронизация, отсутствие синхронизации.
- Для системы двух СТО получены аналитические оценки границ области бистабильности в фазовом приближении.
- Для систем СТО с RLC и RC нагрузкой показана возможность подавления мультистабильности посредством задания начальных зарядов на конденсаторах.
- Лучше всего это работает для двух СТО — в широком диапазоне изменения частот СТО.
- В системе с большим числом осцилляторов бассейны режимов усложняются и для подавления мультистабильности нужно подбирать параметры нагрузки для разных значений частот.